



بررسی مقایسه‌ای عملکرد سیستم‌های قاب خمشی و دیوار باربر در برابر خرابی پیش‌روندۀ

احمد شکوه‌فر^{۱*}، محمد رهایی^۲، فریدون خسروی^۳

^۱ گروه مهندسی عمران، واحد قزوین، دانشگاه آزاد اسلامی، قزوین، ایران

^۲ دانشکده مهندسی عمران، دانشگاه صنعتی شریف، تهران، ایران

^۳ دانشکده پدآفند غیرعامل، دانشگاه امام حسین، تهران، ایران

تاریخچه داوری:

دریافت: ۱۳۹۷-۰۱-۲۵

بازنگری: ۱۳۹۷-۱۰-۱۷

پذیرش: ۱۳۹۷-۱۲-۰۱

راهن آنلاین: ۱۳۹۷-۱۲-۰۱

کلمات کلیدی:

خرابی پیش‌روندۀ

بارهای حرارتی

سیستم دال و دیوار

Pushdown تحلیل

حذف ستون

خلاصه: خرابی پیش‌روندۀ را می‌توان ناشی از گسیختگی و ناپایداری قسمت کوچکی از سازه تحت عواملی مانند: انفجار، آتش‌سوزی، زلزله، برخورد وسایل نقلیه و خطاهای ناشی از طراحی و اجرای ساختمان دانست که با یک عملکرد زنجیره‌ای به تدریج، گسترش پیدا می‌کند و درنهایت منجر به خرابی قسمت مهمی از سازه می‌گردد. سیستم دیوار باربر بتنی یکی از سیستم‌های سازه‌ای مناسب برای آن‌ها ساختمان‌های میان‌مرتبه به شمار می‌رود که با توجه به تعداد دیوارها در پلان و کاهش سهم نیروی جانبی آن‌ها، این سیستم علاوه بر مقاوم بودن در برابر زلزله، از نظر حجم مصالح مصرفی نیز اقتصادی است و می‌توان آن را با سرعت، دقت و کیفیت بالایی اجرا کرد. در این تحقیق اثر خرابی پیش‌روندۀ ناشی از حذف ناگهانی و تدریجی المان‌های باربر بحرانی بر روی سیستم دیوار باربر بتنی مورد بررسی قرار گرفته و عملکرد آن با سیستم قاب خمشی بتنی مقایسه شده‌است. حذف ناگهانی المان‌های باربر ناشی از اثر ضربه، انفجار یا برخورد وسایل نقلیه و حذف تدریجی ناشی از افت خواص مکانیکی مصالح و انبساط المان‌های باربر در معرض آتش‌سوزی در نظر گرفته شده‌است. پتانسیل خرابی پیش‌روندۀ ناشی از حذف المان‌های باربر بر روی اعضای باربر مجاور و پایداری کلی آن‌ها ساختمان‌ها، در موقعیت‌های مختلفی از طبقات و پلان، توسط تحلیل‌های حرارتی، دینامیکی غیرخطی و استاتیکی غیرخطی (Pushdown Analysis) در سیستم‌های سازه‌ای مورد مطالعه، ارزیابی شده‌است. مقایسه بین نتایج تحلیل‌های Pushdown انجام شده در هر دو سیستم، نشان‌دهنده پایداری و مقاومت بسیار بالاتر، سختی بیشتر و شکل پذیری‌شکل پذیری کمتر سیستم دیوار باربر بتنی نسبت به سیستم قاب خمشی بتنی در برابر خرابی پیش‌روندۀ است.

۱- مقدمه

دهه‌های اخیر در ایران و بهویژه در شهر تهران، تامین مسکن به یکی از مهم‌ترین مسائل کشور تبدیل شده‌است. در این راستا تولید انبوی مسکن با رعایت استانداردها و ضوابط مربوط به پایداری و پایایی آن‌ها ساختمان‌ها در شرایط مختلف اقلیمی و لرزه‌خیزی کشور، به عنوان الگوبی با مزایایی نظیر توجیهات فنی، اقتصادی و زمانی موردن توجه جدی قرار گرفته‌است. استفاده از سازه‌های بتن آرم‌ه به دلیل مزایای مختلفی که نسبت به سازه‌های فولادی دارا هستند به سرعت در حال گسترش است. به صورتی که امروزه در مقیاس

جمعیت جهان روز به روز در حال افزایش است و روند شهرنشینی نیز همراه با آن افزایش پیدا می‌کند. با گسترش جوامع صنعتی نیاز به مسکن به عنوان یکی از نیازهای حیاتی برای اشاره جامعه مطرح است. نیاز به تعداد زیاد مسکن و هم‌چنین سرعت در اجرا باعث شد که اولین بار بعد از جنگ جهانی دوم، روشی با عنوان انبوی سازی صنعتی مسکن مورد استفاده قرار بگیرد. به دنبال رشد فزآینده شهرنشینی در

* نویسنده عهده‌دار مکاتبات: fr.khosravi@aut.ac.ir



مدل‌سازی و تحلیل خرابی پیش‌روندۀ می‌توان اعضای بحرانی و نقاط ضعف سیستم را در برابر بارهای غیر عادی تشخیص داد و با تقویت آن‌ها و ایجاد مسیرهای بار جایگزین، جان ساکنین و پایداری سازه را بیمه کرد.

از آن جایی که استفاده از سیستم دیوار باربر بتّنی در سطح جهان بسیار متداول است و در کشورمان نیز اجرای آن‌ها ساختمان‌ها با این سیستم با استقبال روز افزونی مواجه بوده‌است (به خصوص در پروژه‌های انبوسازی و در حد وسیع مانند پروژه‌های مسکن مهر) این سوالات مطرح می‌شود که :

آیا سیستم دیوار باربر بتّنی می‌تواند در برابر حوادثی مانند انفجار، آتش‌سوزی، برخورد وسایل نقلیه و یا ضعف در اجرا عملکرد مناسب داشته باشد؟ آیا سیستم دیوار باربر بتّنی می‌تواند سطح عملکرد موردنظر و پایداری خود را در برابر خرابی پیش‌روندۀ ناشی از این حوادث حفظ کند؟ آیا سیستم دیوار باربر بتّنی که بر مبنای آیین‌نامه‌های موجود و درناحیه خطی طراحی شده‌است، می‌تواند در برابر حوادث مذکور مقاومت لازم را از خود نشان دهد؟ آیا پایداری و مقاومت سیستم دیوار باربر بتّنی نسبت به دیگر سیستم متعارف بتّنی، یعنی قاب خمثی بتّنی، در برابر خرابی پیش‌روندۀ بیشتر است؟ با توجه به استفاده وسیع و گستردۀ از سیستم دیوار باربر بتّنی، یافت‌ن جواب‌هایی قابل اطمینان که بر مبنای رفتار واقعی سازه در محدوده غیرخطی و براساس تحلیل‌های دقیق دینامیکی واستاتیکی غیرخطی با استفاده از بهترین و قدرتمندترین نرم‌افزارهای مربوط به تحلیل‌های غیرخطی باشد، ضروری به نظر می‌رسد.

هدف از انجام این تحقیق بررسی عملکرد و پایداری سیستم دیوار باربر بتّنی در برابر خرابی پیش‌روندۀ ناشی از بارهای ضربه‌ای و حرارتی و مقایسه عملکرد سیستم دیوار باربر بتّنی با سیستم قاب خمثی بتّنی، در برابر خرابی پیش‌روندۀ می‌باشد.

از آن جایی که در سیستم دیوار باربر بتّنی، دیوارها مسئولیت تحمل کلیه بارهای ثقلی و جانبی را برعهده دارند، بنابراین المان‌هایی که از آن‌ها رفتار غیرخطی انتظار می‌رود نیز دیوارها می‌باشند، این امر اهمیت مدل‌سازی مناسب برای بررسی رفتار غیرخطی دیوارهای سازه‌ای را مشخص می‌سازد. بنابراین مدل‌سازی به روش فایبر‌بندی مقاطعه با نتایج نمونه آزمایشگاهی از دیوار باربر بتّن مسلح اعتبارسنجی شده‌است. مدل‌هایی سه‌بعدی از ساختمان‌های ۱۰ طبقه با پلانی

وسيعی از اين سازه‌ها استفاده می‌شود. با توجه به عملکرد مناسب در زمين لرزه‌های شدید گذشته، تلاش‌های گستردۀای توسيط محققین جهت بهینه کردن و رفع نواقص موجود در سازه‌های بتّن آرمه انجام می‌گيرد. در همین راستا و با توجه به نياز شدید اقشار جامعه به مسكنی مقاوم و مناسب و با در نظر گرفتن شرایط و محدودیت‌های موجود برای ساختمان‌سازی، سیستم‌های سازه‌ای جدیدی ایجاد شده‌اند که از مهم‌ترین آن‌ها می‌توان به سیستم دیوار باربر بتّن اشاره کرد. سیستم دیوار باربر بتّن يکی از سیستم‌های سازه‌ای مناسب و قابل توجه برای مهندسان است که با توجه به تعدد دیوارها در پلان و کاهش سهم نيريوي جانبي آن‌ها، اين سیستم علاوه بر مقاوم بودن در برابر زلزله، از نظر حجم مصالح مصرفی نيز اقتصادي است و می‌توان آن را با سرعت، دقت و كيفيت بالايي اجرا کرد.

اعضای سازه اصلی اين سیستم، دیوارهای باربری هستند که علاوه بر تحمل بارهای ثقلی در برابر بارهای جانبی نيز مقاومت می‌کنند. به دليل اتصال مستقيم دال‌ها به دیوارها و سطح گستردۀ اتصال آن‌ها، ماهیت نيريوها از حالت گره‌ای و متمرکز، بهصورت گستردۀ نمایان می‌شود. انتقال نيريوها در سطح بيشتری صورت گرفته و تمرکز تنش در محل اتصالات کاهش چشم‌گيري می‌يابد. اتصال دیوارها در محل تقاطع، ضمن افزایش درجه نامعینی سازه، پایداری و عملکرد لرزه‌ای مناسبی برای سیستم ایجاد می‌کند. با توجه به ضوابط منظم بودن پلان و ارتفاع اين سیستم، توزيع مناسب جرم و سختی، باعث ارتقای عملکرد لرزه‌ای آن می‌شود. خرابی پیش‌روندۀ را می‌توان ناشی از گسيختگی و ناپايداري قسمت کوچکی از سازه دانست که با يك عملکرد زنجيره‌ای به تدریج، گسترش پیدا می‌کند و در نهايیت منجر به خرابی قسمت مهمی از سازه می‌شود. خرابی پیش‌روندۀ تحت عواملی مانن : انفجار، آتش‌سوزی، زلزله، برخورد وسایل نقلیه و هم‌چنین خطاهای ناشی از طراحی و اجرای ساختمان در هر نوع سیستمی، می‌تواند ایجاد شود. در آن‌ها ساختمان‌ها، وقتی که اعضای باربر اصلی از بين می‌روند، سایر اعضای متصل به عضو آسيب دیده تکيه‌گاه خود را از دست می‌دهند و نيريويی که قبلًا توسيط عضو آسيب دیده تحمل می‌شد، در سازه بازتوزيع می‌گردد. اگر سازه نتواند به شرایط تعادل استاتیکی جدید برسد، خرابی اولیه منجر به خرابی و ناپايداري قسمت وسيعی از آن می‌شود و سیستم را از حد سرویس و سطح عملکرد پیش‌بینی شده خارج می‌کند. بنابراین با استفاده از

محدودی از تیر مورد نظر اعتبارسنجی گردید. در این تحقیق پتانسیل خرابی پیش‌رونده در سازه و با توزیع دینامیکی نیرو پس از حذف ستون بررسی شده است [۶].

Sagiroglu و Serkan (Mehrdad Sasani) در سال ۲۰۱۰ در یک بروزی تجربی، اثر حذف یک ستون داخلی در طبقه اول ساختمان ۲۰ طبقه مربوط به بیمارستان باپتیست را ارزیابی کردند [۷]. در سال ۲۰۰۶ (Pekau) و (Yuzhu Cui) خرابی پیش‌رونده در سازه‌های ساخته شده با پانل‌های بزرگ پیش‌ساخته بتی را مورد بررسی قرار دادند [۸]. یک سازه دوازده طبقه سه دهانه برای حالت‌های مختلف خرابی پیش‌رونده مورد بررسی قرار گرفت. هدف از این تحقیق بررسی تأثیر زمان شروع خرابی موضعی پانل‌ها بر روی پاسخ دینامیکی سازه و بررسی عملکرد و شکل‌بزیری اتصالات قائم برای جلوگیری از ادامه روند تخریب بود. در سال ۲۰۰۶ (Hyunjin Kim) خرابی پیش‌رونده سازه‌های بتن آرمه دارای نقص سازه‌ای را مورد بررسی قرار داد [۵]. در این تحقیق برای مدل‌سازی خرابی پیش‌رونده ناشی از حذف آنی ستون از نرم‌افزار Perform-Collapse استفاده شد. در سال ۲۰۰۸ (Osama A.Mohammad) پتانسیل خرابی پیش‌رونده در پانل‌های گوشه کف ساختمان بتن آرمه را مورد ارزیابی قرارداد [۹]. در این تحقیق حساسیت بالای بعضی سازه‌ها نسبت به حذف یک ستون گوشه نشان داده شد. در سال ۲۰۱۰ (Yihai) و (Sashi Kunnath) (Bao) تحلیل خرابی پیش‌رونده را بر روی دیوارهای بشی موجود در قاب خمشی بتن مسلح انجام دادند [۱۰]. در روند انجام این تحقیق دو سیستم به صورت جداگانه و برای ناحیه‌های لرزه‌خیزی متفاوت، طراحی شدند و با حذف دیوار بشی در پایین‌ترین تراز ساختمان عملکرد این دو سیستم در برابر خرابی (Mostafaei) پیش‌رونده با یکدیگر مقایسه گردید. در سال ۲۰۱۰، (Kabeyasawa) تحقیقی آزمایشگاهی- تحلیلی، بر روی اثر آتش پس از زلزله در یک ساختمان بتن آرمه با دیوار بشی انجام دادند [۱۱]. در این پژوهه یک ساختمان ۶ طبقه بتی همراه با دیوار بشی در مقیاس واقعی بر روی میز لرزه قرار داده شد و عملکرد آن هنگامی که تحت اثر زلزله ۱۹۹۵ کوبه (Kobe)، قرار گرفت، ارزیابی گردید. در سال ۲۰۱۱ بهروز بهنام و حمید رونق (Behnam & Ronagh) از دانشگاه کوئینزلند استرالیا تحقیقی را در زمینه بررسی عملکرد سازه‌های بتن مسلح در آتش‌سوزی پس از زلزله انجام دادند [۱۲].

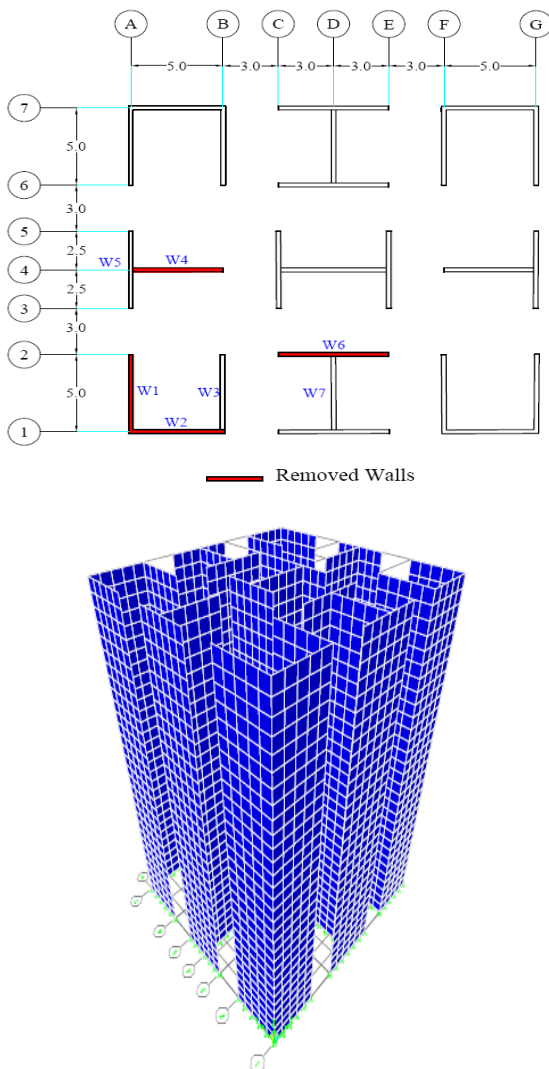
مشابه در هر دو سیستم طراحی شده است. سپس با لحاظ کردن اثرات غیرخطی هندسی و مصالح و به روش فایبریندی مقاطع در نرم‌افزار، مدل‌سازی شده‌اند. پتانسیل خرابی پیش‌رونده ناشی از حذف المان‌های باربر بر روی اعضای باربر مجاور و پایداری کلی ساختمان‌ها، در موقعیت‌های مختلفی از طبقات و پلان، توسط تحلیل‌های حرارتی، دینامیکی غیرخطی و استاتیکی غیر خطی (Pushdown) در سیستم‌های سازه‌ای مورد مطالعه، ارزیابی شده است.

۲- مروری بر ادبیات فنی

آینین‌نامه‌های مختلفی در سراسر دنیا، برای طراحی و آنالیز سازه‌ها در برابر خرابی پیش‌رونده تدوین شده‌اند که از معروف‌ترین آن‌ها می‌توان به آینین‌نامه‌های UFC [۱] و GSA [۲] که برای ارتش و فدرال آمریکا می‌باشد، اشاره کرد. شرایطی که خرابی موضعی در یک عضو سازه‌ای اصلی منجر به خرابی المان‌های کناری می‌شود و یا به عبارتی منجر به خرابی اضافی در سازه می‌شود. بنابراین کل خسارت وارده بر سازه نامتناسب با دلیل به وجود آورنده خرابی می‌باشد [۳]. خرابی پیش‌رونده انتشار یک خسارت موضعی به علت یک پدیده به وجود آورنده خرابی اولیه، از یک المان به المان دیگر است، که درنهایت منجر به خرابی کل سازه یا خرابی نامتناسب بخش بزرگی از سازه می‌شود. از این نوع خرابی به خرابی نامتناسب نیز تعبیر می‌شود [۴]. حوادثی مانند: انفجار، آتش‌سوزی، زلزله، برخورد وسایل نقلیه و یا حملات بمب‌گذاری و تروریستی و همچنین خطاهای ناشی از محاسبات، طراحی واجرا به همراه ضعف در شکل‌بزیری ساختمان، باعث ایجاد خرابی پیش‌رونده در سازه‌ها می‌گردد [۵]. خرابی پیش‌رونده ممکن است در حین عملیات اجرایی و ساخت‌وساز اتفاق بیافتد. در این موارد عدم آگاهی کارگران از عملکرد ساختمان، که با برداشتن زودهنگام پایه‌ها و قالب‌ها باعث ضعف در اعضای اصلی باربر ساختمان شده‌اند، به عنوان عامل خرابی گزارش شده است. طراحی غیراصولی و نادیده گرفتن بارهای زنده خارج از حد انتظار نیز از جمله مواردی است که باعث ایجاد این نوع خرابی در سازه‌ها شده است. در سال ۲۰۰۸ (Jesse Kropelinicki) (Mehrdad Sasani) در یک مطالعه ارزشمند آزمایشگاهی، رفتار مدل ۳/۸ مقیاس شده تیر پیوسته پیرامونی در یک قاب بتن آرمه را پس از حذف آنی ستون متصل به آن بررسی کردند. نتایج آزمایشگاهی با مدل اجزای

۳- مدل سازی

نرم افزار SAP2000 از قوی ترین، کامل ترین و شناخته شده ترین نرم افزارهای قابلیت تحلیل غیر خطی است. در این نرم افزار علاوه بر این که می توان از تکنیک های مدل سازی جدیدی مانند فایبر برای مدل کردن رفتار واقعی دیوارها استفاده کرد، می توان انواع بارگذاری های حرارتی را به المان های پوسته ای و قابی شکل اختصاص داد. به منظور مقایسه عملکرد سیستم دیوار باربر بتونی با سیستم قاب خمثی بتونی، سازه هایی ۱۰ طبقه با پلانی مشابه برای هر دو سیستم طراحی شده است (شکل های ۱ و ۲). لازم به ذکر است که با هدف بررسی عملکرد یک سازه واقعی در برابر خرابی پیش رونده، پلان سیستم دیوار باربر بتونی مربوط به ساختمانی موجود در منطقه



شکل ۱. پلان طبقات و نمای سه بعدی سیستم دیوار باربر بتونی
Fig.1. Stories plan and 3D of bearing wall system

با توجه به اینکه آیین نامه طراحی سازه ها در برابر زلزله ایران، هیچ اشاره ای به موضوع مهم آتش سوزی پس از زلزله نکرده است و به نوعی از آن چشم پوشی کرده این نگرانی وجود دارد که سازه های طراحی شده بر مبنای این آیین نامه نتوانند در برابر آتش سوزی پس از زلزله ۲۰۱۲ پایدار بمانند و این امر باعث فرو ریزش ساختمان شود. در سال ۲۰۱۲ (Min-Kang Jung) و (Jinkoo Kim) به بررسی پاسخ سازه های نامنظم در برابر خرابی پیش رونده پرداختند [۱۳]. نتایج نشان داد که پتانسیل وقوع خرابی پیش رونده در سازه های نامنظم بیشتر از سازه های منظم است و با افزایش درجه نامعینی سازه نامنظم می توان مقاومت آن را در برابر خرابی پیش رونده بیشتر کرد.

Yang و همکارانش نقش دال های کامپوزیت را در رفتار سازه های دارای سیستم بار بر جانبی قاب خمثی در برابر خرابی پیش رونده مورد بررسی قرار دادند، آن ها از طریق یک سلسله آزمایش ها و تحلیل های عددی نشان دادند نسبت ابعاد دال کامپوزیت بر رفتار قاب خمثی موثر است [۱۴].

Lin و همکارانش روش جدیدی را برای ارزیابی قاب های فولادی خمثی تحت اثر بارهای انفجار ابداع کردند. روشی برای مدل سازی و بارگذاری این سازه ها در برابر بارهای انفجاری پایه ریزی شد. روش مذکور با سایر روش های معمول مقایسه شد. آن ها اثبات کردند که شروع آسیب در طبقات ابتدایی اثری به مراتب موثر تر از وقوع آسیب ابتدایی در سایر طبقات بر روی اثر زنجیره ای خرابی ها دارد [۱۵].

Bredan و همکارانش تلاش بسیاری را برای تعیین میزان اثر تغییرات هندسی در ابعاد و مقاطع تیرها و دال ها بر رفتار قاب های خمثی بتون آرمه در برابر خرابی پیش رونده انجام دادند. مدل های عددی غیر خطی متعددی با هدف بررسی نقش سختی دال در باز توزیع نیروها پس وقوع حادثه صورت گرفت، و مدل های باز توزیع نیروها ارائه گردید [۱۶]. در این تحقیق نیز رفتار قاب های خمثی و دیوارهای بار بر که به همراه سیستم با پل قللی دال دو طرفه مورد استفاده قرار گرفته است، ارزیابی شده است. مدل های غیر خطی عددی پس از صحبت سنجی بر مبنای تحقیقات معتبر، به منظور بررسی رفتار این سیستم های بار بر جانبی بر مبنای متغیرها بار محوری در ستون ها و جابه جایی، تحت بارهای انفجار که در یک فرایند دینامیکی به سازه اعمال می شود و بارهای آتش سوزی که در یک فرایند تدریجی به سازه وارد می شود، تحلیل شده و نتایج مورد بحث قرار گرفته است.

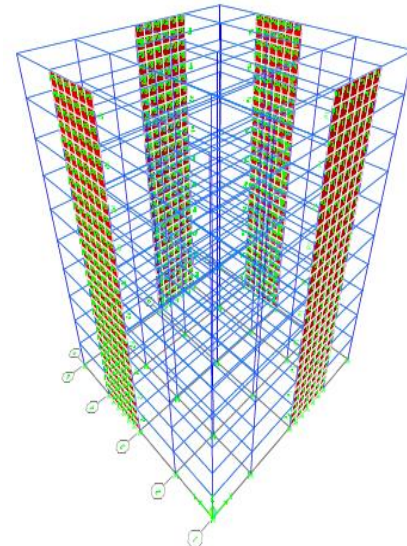
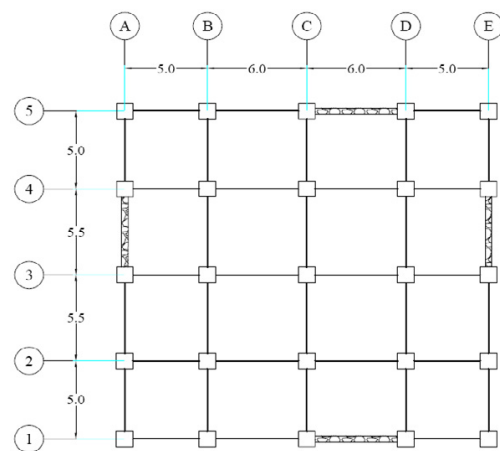
مقررات ملی ساختمان طراحی شده است. بار مرده کف طبقات و بام
برابر $6 KN/m^2$ و بار زنده طبقات و بام به ترتیب KN/m^2 ۲ و KN/m^2 ۱/۵ در نظر گرفته شده است. همچنین بار مرده دیوارهای
پیرامونی طبقات و جان پناه بام به ترتیب KN/m ۶ و KN/m ۳ فرض شده است.

از آنجایی که برای مدل سازی دیوارهای باربر از المان پوسته‌ای Shell استفاده شده است، باید برای ارتباط گسترده دیوار با پی و بالا بردن دقت محاسبات، دیوارها هم در راستای طولی و هم در راستای قائم شبکه‌بندی شوند. در صورت عدم تقسیم‌بندی دیوارها، ارتباط دیوار با پی تنها در دو نقطه انتهایی برقرار می‌شود، که منجر به انتقال کوپل نیروی بزرگی به پی می‌گردد و روی نتایج تحلیل و عکس‌العمل‌های تکیه‌گاهی تاثیر می‌گذارد. تکیه‌گاه‌های پای دیوارها به صورت گیردار مدل شده است. با توجه به ضخامت سقف و عملکرد یکپارچه آن با دیوارهای بتنی و اجرای همزمان و اتصال مناسب آن‌ها، دیافراگم کف صلب در نظر گرفته می‌شود که منطبق بر واقعیت است. بنابراین جابجایی تمام نقاط موجود در یک تراز ارتفاعی، یکسان می‌باشد.

اثر $P-\Delta$ یا اثر ثانویه، تاثیر بارهای محوری بر روی تغییر مکان‌های جانبی، برش‌ها و لنگرهای خمشی موجود در اعضای باربر قائم می‌باشد و نیز باعث افزایش تغییر مکان‌های جانبی طبقات می‌شود.

جرم لزهای هر گره از ساختمان به صورت جداگانه محاسبه و اختصاص داده شده است، زیرا در تحلیل‌های دینامیکی به خصوص برای بررسی خرایی پیش‌رونده به علت وابستگی نتایج تحلیل به جرم گره‌ها باید از متمرکز کردن جرم طبقه در مرکز جرم طبقه خودداری شود. با توجه به ضخامت دال‌ها و نحوه اجرای ساختمان بتن آرمه دیافراگم کف، صلب در نظر گرفته شده است. تمامی گره‌های موجود در تراز هر طبقه به دیافراگم صلب کف آن طبقه مقید شده‌اند. تکیه‌گاه‌های پایه ساختمان، گیردار در نظر گرفته شده است.

روشی که در این مقاله برای مدل سازی دیوارهای باربر و ستون‌ها (در سیستم قاب خمش) انتخاب شده است، تکنیک مدل فایبر می‌باشد. این روش دقیق‌ترین و از لحاظ زمان تحلیل طولانی‌ترین روشی است که برای مدل سازی المان‌ها از آن استفاده می‌شود. در مدل سازی فایبر، وضعیت تنش - کرنش مقطعی المان‌ها با انتگرال‌گیری از پاسخ

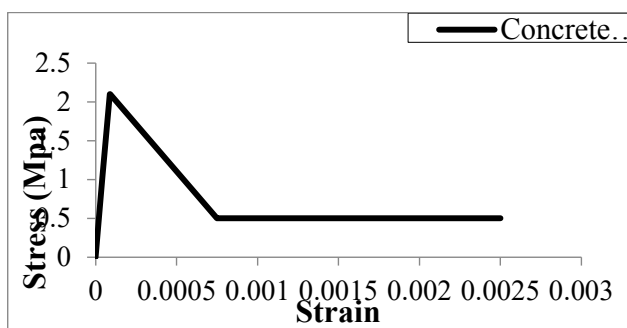


شکل ۲. پلان طبقات و نمای سه‌بعدی سیستم دوگانه قاب خمشی و دیوار برشی

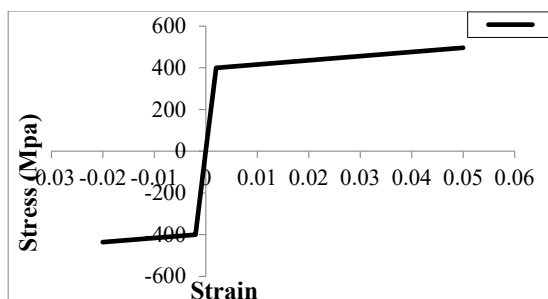
Fig.2. Stories plan and 3D of dual system of moment frame and shear wall

پرند می‌باشد.

کاربری ساختمان‌ها اداری است. ابعاد تمامی پلان‌ها ۲۲ متر در ۲۱ متر و ارتفاع طبقات برابر با ۳ متر می‌باشد. سازه‌ها در ناحیه با خطر لرزه خیزی زیاد قرار دارند. شکل پذیری دیوارها در حد متوسط منظور شده است. سازه‌ها بر روی زمین نوع II و در ناحیه "پنهن" با خطر نسبی خیلی زیاد" ساخته شده است. سقف‌ها از نوع دال دو طرفه می‌باشند. مقاومت مشخصه بتن مصرفی $25 MPa$ و مدول الاستیسیته بتن $2 \times 10^4 MPa$ ، مقاومت جاری شدن فولاد $400 MPa$ و مدول الاستیسیته فولاد $2 \times 10^5 MPa$ در نظر گرفته شده است. ساختمان مورد نظر مطابق ضوابط آیین‌نامه مبحث نهم



شکل ۵. منحنی تنش- کرنش غیرخطی بتن تحت کشش
Fig. 5. Stress-strain curve of concrete under uniaxial tension



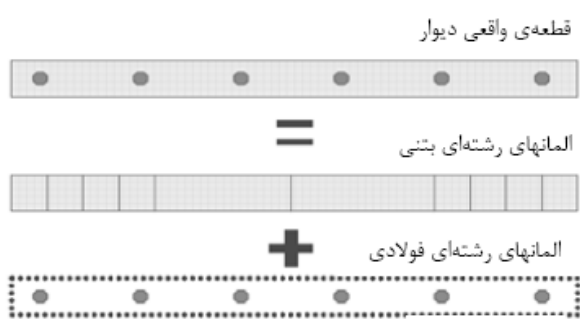
شکل ۶. منحنی تنش- کرنش غیرخطی آرماتورها
Fig. 6. Stress-strain curve of reinforcement steel bars

فایبرها استوار است. برای تعریف رفتار غیرخطی مصالح ستون‌ها و تیرها در نرم‌افزار SAP2000 از مفاصل پلاستیک غیرخطی مطابق با دستورالعمل FEMA356 استفاده شده است. در تمامی تحلیل‌ها با لحاظ کردن اثر P-Δ رفتار غیرخطی هندسی المان‌ها در نظر گرفته شده است. جهت اعمال اثرات ترک‌خوردگی دیوار بر روی رفتار عمود بر صفحه‌ی آن، میزان سختی خمی عمود بر صفحه دیوار مطابق FEMA356 برابر با نصف سختی الاستیک داخل صفحه آن فرض شده است [۱۷ و ۱۸].

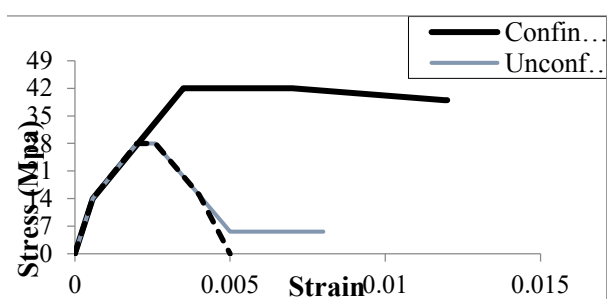
ای تعریف منحنی تنش- کرنش غیرخطی فایبرهای بتی در ناحیه فشاری و در حالت‌های محصور شده و محصور نشده از مدل ارائه شده توسط Mander و همکارانش در سال ۱۹۸۸ استفاده گردیده است [۱۹].

نمودار تنش- کرنش ۵ خطی به نرم‌افزار معرفی می‌گردد، نمودار نهایی معرفی شده به برنامه به صورت شکل ۴ می‌باشد.

منحنی تنش- کرنش بتن محصور شده به فایبرهای بتی ستون‌ها و اجزای مرزی دیوارهای سازه‌ای و منحنی تنش- کرنش بتن



شکل ۳. فایبریندی مقطع دیوار در نرم‌افزار SAP 2000
Fig. 3. Wall section fibers in SAP 2000 software



شکل ۴. منحنی تنش- کرنش غیرخطی بتن تحت فشار
Fig. 4. Stress-strain curve of concrete under uniaxial compression

تنش- کرنش محوری غیرخطی فایبرهای مجزا که مقطع به آن‌ها تقسیم شده است (یعنی فولاد، بتن محدود شده و بتن محدود نشده) به دست می‌آید. استفاده از این روش امکان نمایش گستره‌ی غیرخطی در طول عضو را فراهم می‌کند و دیگر نیازی به کالیبره کردن هر گونه المان با مفاصل مرکز نیست. مدل مصالح غیرخطی می‌تواند به صورت الاستیک- پلاستیک کامل یا رابطه تنش- کرنش چند خطی برای عضو تعریف گردد.

در این نوع مدل‌سازی، سطح مقطع عضو به تعداد مشخصی المان رشتک‌ای با مساحت و مکان مشخص تقسیم‌بندی شده و برای هر المان، منحنی تنش- کرنش غیرخطی مواد سازنده آن اعمال می‌شود. از مزایای عده این روش می‌توان به امکان اعمال اثرات محصور شدگی بتن در مقاطع اشاره نمود. رفتار غیرخطی مصالح دیوار برابر بتی و دیوار برشی در نرم‌افزار SAP2000 با استفاده از المان Nonlinear Shell-Layered تعریف شده است (شکل ۳). این المان بر پایه تعریف مقطع عرضی داخل صفحه دیوار به لایه‌های فایبر افقی و اختصاص دادن منحنی تنش- کرنش غیرخطی مصالح به این

انجام شده و نیروهای داخلی المانی که قرار است حذف شود تعیین گردیده است.

(۲) با حذف المان باربر و جایگزین کردن نیروهای داخلی انتهای المان محدود در کنار بارهای دائمی سازه، مدل اصلاح گردیده و یک بار دیگر سازه تحت بارهای دائمی به صورت استاتیکی تحلیل شده است. توجه شود که نتایج تحلیل این مرحله باید با نتایج تحلیل مرحله اول یکسان باشد.

(۳) با استفاده از تحلیل دینامیکی غیرخطی با شرایط اولیه (جهت حفظ تنش های ایجاد شده تحت اثر بارگذاری دائمی سازه)، نیروهای برابر و در خلاف جهت نیروهای اعمال شده در مرحله دوم، به انتهای المان محدود وارد شده است. با تعریف یک Ramp، این نیروها در یک مدت زمان بسیار کوتاه به حداقل مقدار خود رسیده تا به این ترتیب حذف ناگهانی نیروهای اعمال شده در مرحله دوم را منجر شود. مطابق این اثر ضربه ناشی از حذف ناگهانی المان باربر در نظر گرفته شده است.

توجه شود که با حذف المان دیوار از مدل، جایگزینی و حذف ناگهانی نیروهای داخلی، باید برای تمامی گره های انتهایی متصل به دیوار محدود انجام شود.

مطابق آیین نامه GSA مدت زمان حذف ناگهانی المان باربر نباید کمتر از $1/10$ زمان تناوب اصلی سازه در نظر گرفته شود [۲]. از آن جا که زمان تناوب سیستم دیوار باربر بتنی $1/55$ ثانیه و زمان تناوب سیستم قاب خمی $1/85$ ثانیه می باشد، مدت زمان حذف المان های باربر این دو سیستم به ترتیب $1/0.55$ ثانیه و $1/0.85$ ثانیه تعیین شده اند. از میرایی 5% برای زمان تناوب های اصلی سازه ها استفاده شده است. اندازه گام زمانی تحلیل $1/0.1$ ثانیه و مدت زمان کل تحلیل 5 ثانیه تعیین شده است. در تمامی تحلیل ها بالحظ کردن اثر P-Δ رفتار غیرخطی هندسی المان ها لحاظ شده است.

2-۳- روند انجام تحلیل Pushdown

تحلیل استاتیکی غیرخطی در جهت قائم (Pushdown) مطابق روند زیر انجام شده است :

(۱) تحلیل استاتیکی تحت بارهای دائمی وارد بر ساختمان انجام شده و نیروهای داخلی المانی که قرار است حذف شود تعیین گردیده است. (۲) با حذف المان باربر و جایگزین کردن نیروهای

محصور نشده به فایبرهای بتی ناحیه جان دیوارهای باربر و دیوارهای برشی، اختصاص داده شده است.

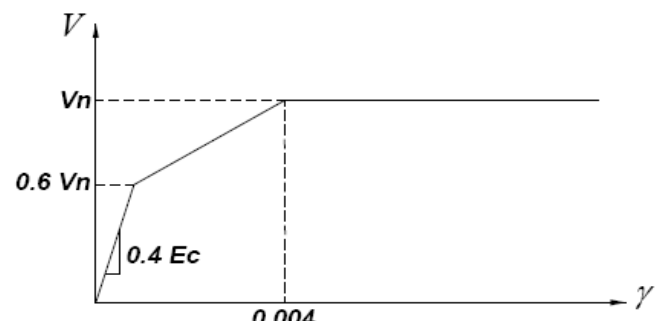
با توجه به اهمیت رفتار پیش از ترک خوردگی بتن در المان های باربر، رفتار کششی بتن نیز تعریف شده است. برای تعریف منحنی تنش - کرنش غیرخطی فایبرهای بتی در ناحیه کششی از مدل ارائه شده توسط Change Mander در سال ۱۹۹۴ استفاده شده است [۲۰]. همچنان رفتار بتن تحت کشش، برای بتن محصور شده و محصور نشده یکسان در نظر گرفته شده است (شکل ۵).

برای مدل کردن رفتار غیرخطی فایبرهای مربوط به آرماتورها، از منحنی تنش - کرنش دو خطی با ضریب سخت شوندگی $0/01$ استفاده شده است. مطابق بند ۶-۳-۳-۶ نشریه 360 [۲۱]، حداقل کرنش فشاری در آرماتورها به میزان $0/02$ و حداقل کرنش کششی به میزان $0/05$ محدود شده است (شکل ۶) شکل بنابراین اجازه در نظر گرفتن کرنش های خارج از این محدوده که در واقعیت منجر به تغییر شکل های بزرگ و پارگی آرماتورها می گردد، داده نشده است. جهت مدل سازی رفتار مصالح برشی غیر ارتجاعی المان های دیوار، با توجه به توصیه ASCE41 [۲۲] از مقاومت برشی اسمی دیوار V_n (مطابق الگوی ACI 318 [۲۳] استفاده شده است (شکل ۷).

3- تحلیل خرابی پیش رو نده

رونده مدل سازی حذف ناگهانی المان های باربر (تحت بارهای ضربه ای) :

(۱) تحلیل استاتیکی تحت بارهای دائمی وارد بر ساختمان



شکل ۷. الگوی ارائه شده برای رفتار مصالح برشی غیرخطی المان دیوار [۲۲] ASCE41 توسط

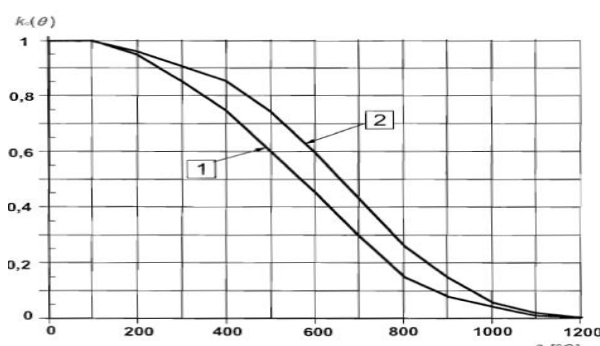
Fig. 7. Material model of nonlinear shear behavior of wall elements presented by ASCE 41

کاهش سختی و مقاومت اعضای بتن مسلح می‌گردد، که در نتیجه کاهش ظرفیت باربری اعضای بتن مسلح را سبب می‌شود. بدیهی است که زمان مهم‌ترین نقش را در آتش‌سوزی دارد. استانداردها و کدهای معتبر، الگوهایی را از میزان دمای مرتبط با یک زمان مشخص ارائه کرده‌اند.

از آنجا که در این مقاله، آتش‌سوزی پیرامونی برای اعضا لحاظ شده‌است، تغییر حرارت سطوح خارجی و درون مقطع عضو به یک اندازه فرض می‌شود. درنهایت الگوی آتش برای کل ضخامت مقطع دیوار تحت آتش‌سوزی مطابق شکل ۸ در برنامه SAP2000 تعریف شده‌است [۱۷].

دماهای بالا باعث کاهش خصوصیات مکانیکی بتن از جمله مقاومت و مدول الاستیستیته آن می‌شود. شکل ۹ نمودار ارائه شده در Eurocode [۲۵] برای ضریب کاهش مقاومت فشاری بتن بر حسب دمای ایجاد شده در هنگام آتش‌سوزی را نشان می‌دهد. با توجه به نوع بتن (منحنی شماره ۱)، ضریب کاهش مقاومت بتن به صورت نسبت مقاومت مشخصه بتن در یک دمای مشخص از آتش‌سوزی به مقاومت مشخصه پایه بتن تعریف شده‌است.

شکل ۱۰ نمودار ارائه شده در Eurocode برای ضریب کاهش مقاومت کششی بتن بر حسب دمای ایجاد شده در هنگام آتش‌سوزی را نشان می‌دهد. مطابق این نمودار مقاومت کششی بتن در بازه‌های زمانی مورد نظر پس از شروع آتش‌سوزی کاهش یافته‌است. در دماهای بالا مدول الاستیستیته بتن به صورت قابل ملاحظه‌ای کاهش می‌یابد. به این منظور مطابق شکل ۱۲ از مطالعه آزمایشگاهی M.Vorechovsky و D.Matesova1 در سال ۲۰۰۵ توسط



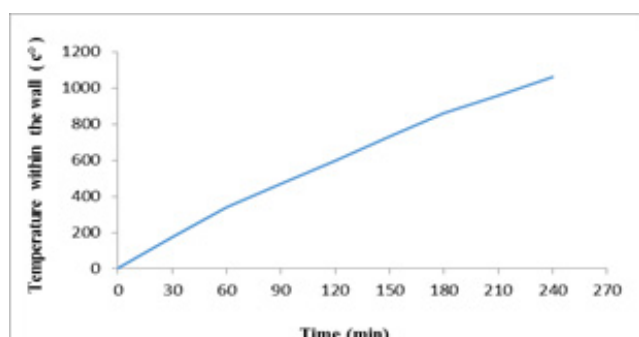
شکل ۹. نمودار ارائه شده در Eurocode برای ضریب کاهش مقاومت فشاری بتن بر حسب دما [۲۵]

Fig. 9. Reduction factor of concrete compressive strength Vs temperature presented by Eurocode

داخلی انتهای المان محفوظ در کنار بارهای دائمی سازه، مدل اصلاح گردیده است. ۳) نیرویی به میزان واحد، در جهت قائم به انتهای المان محفوظ وارد شده است. این نیرو با یک روند افزایشی و به صورت استاتیکی، مرحله به مرحله زیاد شده تا جایی که نقطه کنترل تعیین شده به تغییر مکان هدف موردنظر برسد و یا سازه قبل از آن دچار گسیختگی شود. برای این منظور از تحلیل استاتیکی غیرخطی با شرایط اولیه (جهت حفظ تنש‌های ایجاد شده تحت اثر بارگذاری دائمی سازه)، در حالت کنترل شونده توسط جابجایی استفاده شده است. اثر ΔP در این تحلیل نیز لحاظ شده است.

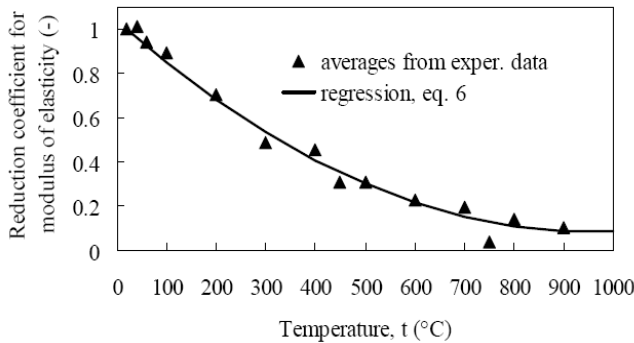
پس از انجام تحلیل، منحنی (نیروی محوری - جابجایی قائم) گره فوقانی المان محفوظ استخراج شده است. با تقسیم کردن نیروی محوری این منحنی بر نیروی محوری تعیین شده از مرحله اول (نیرویی که المان محفوظ تحت بارهای دائمی تحمل می‌کرد)، پارامتری با عنوان "ضریب بار" به دست آمده است. هرچقدر پارامتر ضریب بار به عدد ۱ نزدیک‌تر باشد، نشان‌دهنده افزایش پتانسیل خرابی پیش‌رونده در از حذف المان برابر است و اگر این پارامتر از عدد یک کمتر شود، بیانگر ایجاد خرابی پیش‌رونده در سازه، به علت حذف المان برابر است [۲۴].

۳- روند مدل‌سازی تحلیل حرارتی (حذف تدریجی المان‌های باربر) بتن از جمله مصالحی است که رفتار مناسبی در هنگام مواجهه با آتش از خود نشان می‌دهد. هرچند دماهای بالا به صورت قابل ملاحظه‌ای خصوصیات حرارتی و مکانیکی آن را تحت تأثیر قرار می‌دهند. دماهای بالا باعث ایجاد ترک، کرنش‌های حرارتی، تغییر شکل‌های ماندگار و



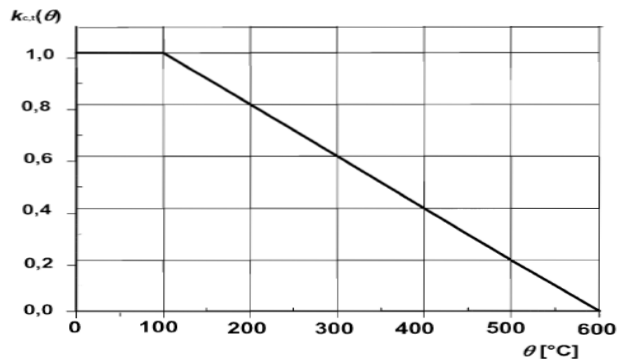
شکل ۸. منحنی حرارت - زمان تعریف شده برای کل ضخامت مقطع دیوار تحت آتش‌سوزی

Fig. 8. Time-temperature curve for total thickness of the wall subjected to fire loads



شکل ۱۱. نمودار آزمایشگاهی ضریب کاهش مدول الاستیسیته بتن بر حسب دما [۲۶]

Fig. 11.Experimental curve of reduction factor of concrete modulus of elasticity in terms of temperature



شکل ۱۰. نمودار ارائه شده در Eurocode برای ضریب کاهش مقاومت کششی بتن بر حسب دما [۲۵]

Fig. 10.Reduction factor of concrete tensile strength Vs temperature presented by Eurocode

با توجه به نمودارهای شکل‌های ۱۳ و ۱۴ محاسبه شده است، در هر مرحله نمودار اصلاح شده تنش-کرنش غیر خطی فولاد، به برنامه معرفی گردیده است. در شکل ۱۵ نمونه‌ای از نمودار تنش کرنش غیرخطی فولاد میلگرد نسبت به دماهای مختلف نشان داده شده است. مطابق بند ۴-۱۹-۹ مبحث نهم مقررات ملی ساختمان ایران، اثر افزایش درجه حرارت ناشی از حریق به دو طریق (الف) و (ب) این بند در محاسبات مطرح می‌شود [۲۷].

(الف) افزایش درجه حرارت یکنواخت در یک عضو یا جمعی از اعضای سازه‌ای و اثرات انبساط حاصله در توزیع نیروهای داخلی سیستم‌های نامعین.

(ب) اثر گرادیان حرارتی (اختلاف درجه حرارت) در اجزای بتنی و تغییرشکل‌های حاصله که باعث ایجاد نیروهای داخلی در اعضامی شود. با توجه به تقاطع دیوارها با یکدیگر و مقید بودن آن‌ها به دیافراگم صلب کف (که مانند تکیه‌گاههای جانبی برای دیوار عمل می‌کند) و درجه نامعینی بسیار بالای سیستم دیوار باربر بتنی، اعمال گرادیان حرارتی به ۱/۱۰ ارتفاع دیوار (اشاره به ارتفاع یک طبقه)، منجر به خمس آن نمی‌گردد. در حالی که در یکی از اعتبارسنجی‌های همین تحقیق با اعمال گرادیان حرارتی به مقطع دیوار طره‌ای آزاد، این دیوار تحت اثر خمس گسیخته شده است. بنابراین تنها حالتی که منجر به گسیختگی دیوار باربر تحت اثر بار حرارتی می‌شود، افزایش درجه حرارت یکنواخت مقطع (آتش‌سوزی پیرامونی عضو) است که منجر به انبساط دیوار تا مرحله گسیختگی آن می‌شود. این حالت همان حالت (الف) بند ۴-۱۹-۹ مبحث نهم مقررات ملی ساختمان ایران

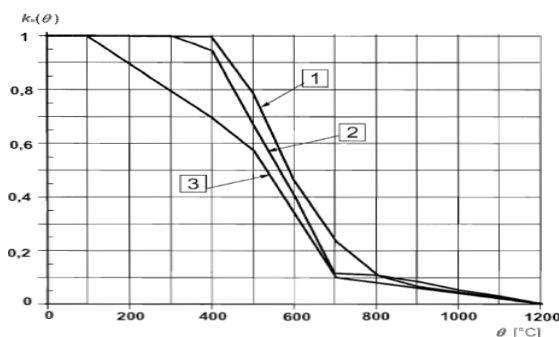
با موضوع بررسی تابع کاهش خصوصیات مکانیکی بتن در معرض حرارت، استفاده شده است [۲۶].

بنابراین با درنظر داشتن درجه حرارت مقطع در زمان مورد نظر از شروع آتش‌سوزی (شکل ۸)، میزان کاهش مقاومت و سختی بتن با توجه به نمودارهای شکل‌های ۹، ۱۰ و ۱۱ محاسبه شده و در هر مرحله نمودار اصلاح شده تنش-کرنش غیرخطی بتن، به برنامه معرفی گردیده است (مانند شکل ۱۲).

در حین آتش‌سوزی مقاومت میلگردهای مقطع دیوار نیز کاهش می‌یابد. شکل ۱۳ نمودار ارائه شده در Eurocode برای ضریب کاهش مقاومت میلگرد بر حسب دمای ایجاد شده در هنگام آتش‌سوزی را نشان می‌دهد. این نمودار برای انواع مختلف میلگرد تنظیم شده است که نوع میلگرد آجدار (منحنی شماره ۱) مدنظر است. ضریب کاهش مقاومت میلگرد به صورت نسبت مقاومت جاری شدن میلگرد در یک دمای مشخص از آتش‌سوزی به مقاومت جاری شدن پایه میلگرد تعريف شده است. مطابق این نمودار تا دمای ۴۰۰ درجه سانتی‌گراد مقاومت میلگرد کاهش سنت ولی از این بازه زمانی به بعد مقاومت آن با شبیه بسیار بسیار تند کاهش می‌یابد.

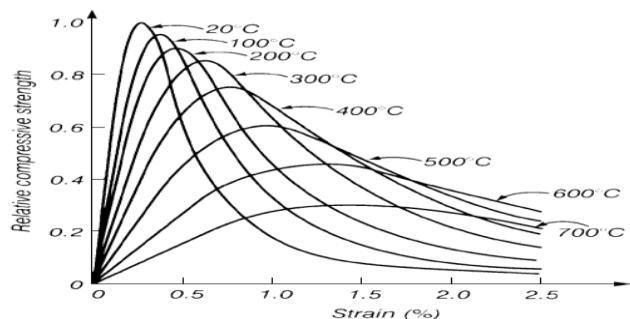
در دماهای بالا، افت مدول الاستیسیته فولاد روندی سریع‌تر از افت مقاومت آن دارد. شکل ۱۴ نمودار ارائه شده در Eurocode برای ضریب کاهش مدول الاستیسیته میلگرد بر حسب دمای ایجاد شده در هنگام آتش‌سوزی را نشان می‌دهد [۲۵].

بنابراین با درنظر داشتن درجه حرارت مقطع در زمان موردنظر از شروع آتش‌سوزی (شکل ۸)، میزان کاهش مقاومت و سختی میلگرد



شکل ۱۳. نمودار ارائه شده در Eurocode برای ضریب کاهش مقاومت میلگرد بر حسب دما [۲۵]

Fig. 13.Reduction factor of steel bars strength Vs temperature presented by Eurocode



شکل ۱۲. نمونه‌ای از تغییرات نمودار تنش - کرنش غیرخطی بتن نسبت به دما [۲۶]

Fig. 12.An instance for nonlinear stress-strain curve of concrete in terms of temperature

این تحقیق، آتش‌سوزی پیرامونی برای اعضا لحاظ شده است. بنابراین تغییر حرارت سطوح خارجی و درون مقطع عضو به یک اندازه در نظر گرفته می‌شود و الگوی آتش برای کل ضخامت مقطع دیوار تحت آتش‌سوزی در برنامه SAP2000 تعریف شده است. به این ترتیب تحلیل حرارتی المان برابر در معرض آتش‌سوزی با اعمال اثر هم‌زمان افت خصوصیات مکانیکی مصالح و بارحرارتی، در هر بازه زمانی انجام شده است [۱۷].

۴- صحبت‌سننجی

صحبت‌سننجی در دو بخش صحبت‌سننجی مربوط به قاب و قسمت مربوط به سیستم دیوار برابر انجام شده است.

۴-۱- صحبت‌سننجی سیستم قاب خمی

ساختمان بتن آرمه ۵ طبقه‌ای با سیستم قاب خمی متوسط در هر دو جهت واقع در شهر تهران و بر روی خاک نوع ۲ با پلانی مطابق شکل ۱۶ در نظر گرفته شده است. ارتفاع طبقات برابر $3/2$ متر و سقف نیز از نوع دال دو طرفه انتخاب شده است. مقاومت مشخصه بتن مصرفی 25 MPa و مدول الاستیسیته بتن $2 \times 10^4 \text{ MPa}$ ، مقاومت جاری شدن فولاد 400 MPa و مدول الاستیسیته فولاد $2 \times 10^5 \text{ MPa}$ در نظر گرفته شده است.

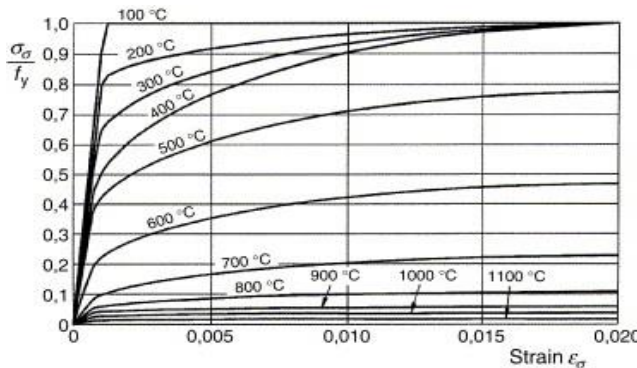
ساختمان مورد نظر با استفاده از نرم‌افزار SAP2000 و مطابق ضوابط آین نامه مبحث نهم مقررات ملی ساختمان طراحی شده است. بار مرده کف طبقات و بام برابر 6 KN/m^2 و بار زنده طبقات و بام به ترتیب 2 KN/m^2 و $1/5 \text{ KN/m}^2$ در نظر گرفته شده است.

است [۲۷].

۴-۲- نحوه مدل‌سازی تحلیل حرارتی در برنامه SAP2000

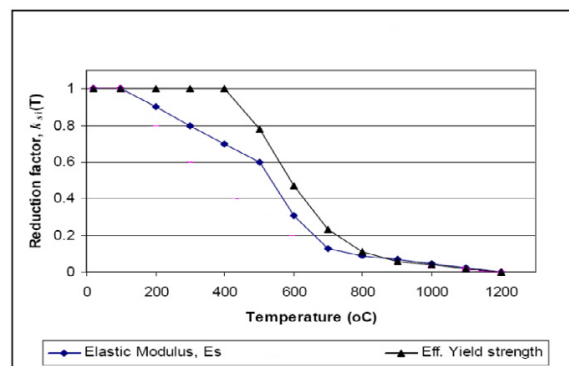
با تعریف مصالح بتنی و فولادی جدید، در هر بازه زمانی میزان کاهش مقاومت و سختی به این مصالح اعمال می‌شود و در هر مرحله نمودار تنش - کرنش غیرخطی مصالح، اصلاح شده و به برنامه معرفی می‌گردد. با تعریف مقطعی جدید برای المان برابر موردنظر که در معرض آتش‌سوزی قرار می‌گیرد، جنس مصالح آن، با مصالح بتنی و فولادی جدید تعریف می‌شود. به این ترتیب کاهش خصوصیات مکانیکی مصالح المان برابر در معرض آتش‌سوزی، در هر بازه زمانی اعمال می‌شود.

باید توجه داشت که مهم‌ترین عامل تعیین‌کننده در تحلیل حرارتی اعمال بار حرارتی است، که با منبسط کردن عضو باعث ایجاد نیروها و جابجایی‌های بزرگی در آن می‌شود. با تعریف حالت تحلیلی دینامیکی غیرخطی در نرم‌افزار SAP2000، منحنی حرارت-زمان مطابق شکل ۸ به صورت یک Function به برنامه معرفی می‌گردد. با استفاده از تحلیل دینامیکی غیرخطی با شرایط اولیه (جهت حفظ تنش‌های ایجاد شده تحت اثر بارگذاری دائمی سازه) و لحاظ کردن اثر Function P-Δ تعریف شده با طول گام و تعداد گام‌های متناسب با بازه زمانی اول از شروع آتش‌سوزی به حالت تحلیلی اختصاص داده می‌شود. باید توجه کرد که حاصل ضرب طول و تعداد گام متناسب با زمان مورد نظر از شروع آتش‌سوزی باشد. در بازه‌های زمانی دیگر با استفاده از دستور Arrival Time و طول و تعداد گام‌های متناسب با هر بازه زمانی، قسمت مربوط به بازه زمانی مورد نظر از Function تعريف شده توسط برنامه قرائت می‌شود. لازم به یاد آوری است که در



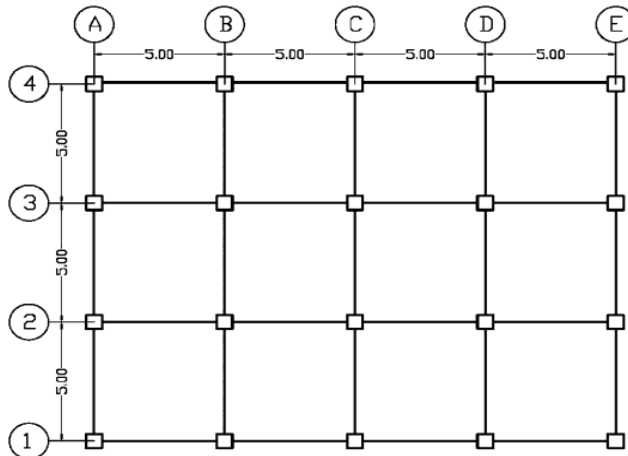
شکل ۱۵. نمونه‌ای از تغییرات نمودار تنش - کرنش غیرخطی میلگرد
نسبت به دما [۲۶]

Fig. 15. An instance for nonlinear stress-strain curve of steel bars in terms of temperature



شکل ۱۴. نمودار مقایسه ضریب کاهش مدول الاستیسیته و مقاومت
میلگرد بر حسب دما در [۲۵] Eurocode

Fig. 14. Comparison of Reduction factor of steel bars strength and modulus of elasticity Vs temperature presented by Eurocode

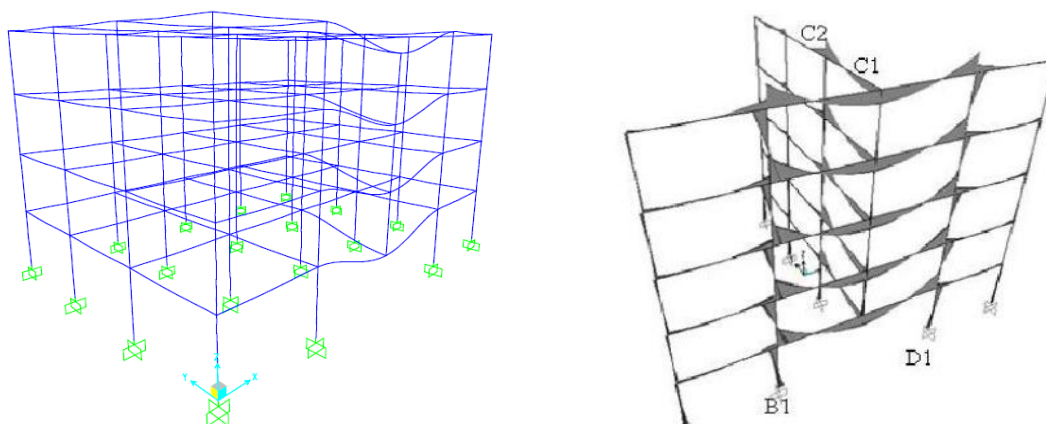


شکل ۱۶. پلان مورد مطالعه به منظور اعتبارسنجی از روش مدل‌سازی خرابی پیش‌روندۀ [۲۸]

Fig. 16. Plan of verification model

صرف نظر شده است. با توجه به درصد اختلاف بسیار کم نتایج به دست آمده و نتایج ارائه شده در پایان نامه مورد بررسی، اعتبارسنجی کاملی از روش مدل‌سازی خرابی پیش‌روندۀ انجام شده است. لازم به ذکر است که در اثر حذف ناگهانی، حداقل تغییر مکان گره فوقانی ستون محدود C1 به میزان $42/4$ میلی‌متر محدود شده است که بیانگر عدم وقوع خرابی پیش‌روندۀ می‌باشد. به علت در دسترس نبودن فایل داده‌های گسترده حاصل از تاریخچه تغییرات جابجایی قائم گره C1 در پایان نامه مورد بررسی، امکان ترسیم نمودار وجود نداشت و برای مشاهده این نمودار به مرجع [۲۸] ارجاع داده می‌شود [۲۸].

همچنین بار مرده دیوارهای پیرامونی طبقات و جان پناه بام به ترتیب $6 \text{ KN}/\text{m}$ و $3 \text{ KN}/\text{m}$ فرض شده است. نتایج مدل‌سازی خرابی پیش‌روندۀ در این تحقیق با نتایج ارائه شده در مرجع [۲۸]، در حالت حذف ستون C1 (واقع در وسط ضلع بزرگ ساختمان) مورد مقایسه و ارزیابی قرار گرفته است (شکل ۱۷). با توجه به این که در این تحقیق با توزیع نیروها مورد ارزیابی قرار گرفته است، نتایج مربوط به نیروی محوری ستون‌های مجاور ستون C1، قبل و بعد از حذف این ستون در جدول ۱ با یکدیگر مقایسه شده‌اند. به علت تقارن فقط نیروی محوری ستون‌های B1، D2 و C2 پایش شده است و از بررسی نتایج ستون‌های D1 و B2



شکل ۱۷. اعتبارسنجی مدل قاب خمچی
Fig. 17. Verification of moment frame model

جدول ۱. مقادیر نیروی محوری ستون های مجاور ستون C1
قبل و بعد از حذف آن

Table 1. The axial force values in the columns around C1, before and after column removal

	پاچناری [۲۰]			درصد اختلاف %		
	B1	B2	C2	B1	B2	C2
نیروی محوری قبل از حذف C1 (KN)	۷۸۹	۱۰۵۹	۱۰۵۱	۰/۳۷	۰/۱۸	۰/۶۶
نیروی محوری در حالت تعادل (KN)	۱۰۸۵	۱۰۶۵	۱۳۳۲	۱/۰۹	۰/۴۷	۰/۱۸
حداکثر نیروی محوری (KN)	۱۲۶۷	۱۰۷۵	۱۴۹۴	۰/۶۲	۰/۵۵	۰/۷۳

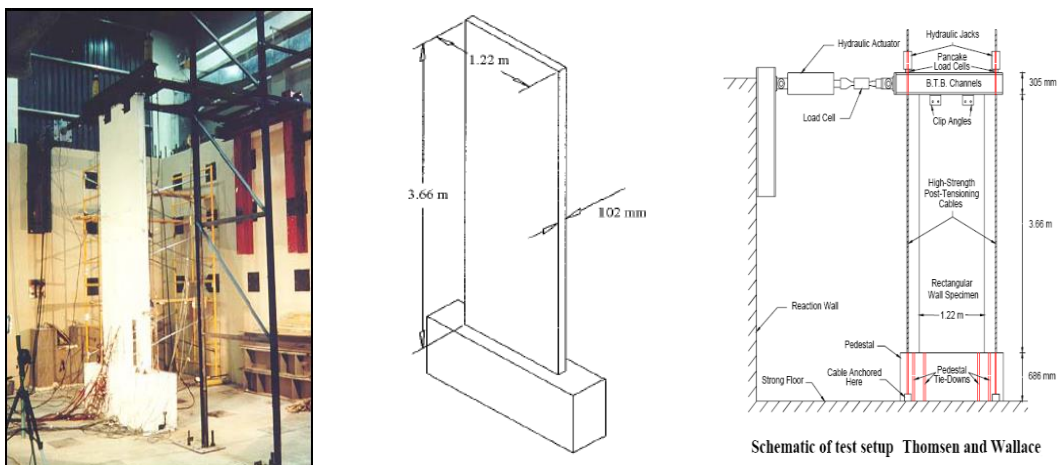
۱) با اعمال بار محوری ، دیوار تحت تنשی های ناشی از بار محوری قرار گرفت.

۲) با ثابت نگه داشتن بار محوری و با شرایط اولیه مرحله قبل، رکورد جابجایی جانبی به صورت رکورد نیرو نسبت به زمان، به صورت دینامیکی به دیوار وارد شد (شکل ۲۰). از آن جایی که در نرم افزار SAP 2000 در حال حاضر امکان اعمال مستقیم جابجایی های تکیه گاهی وجود ندارد، برای اعمال جابجایی جانبی وارد شده به بالاترین قسمت دیوار از المان فنر تکیه گاهی استفاده شده است. این المان باید نسبت به سختی سازه خیلی سخت باشد و تنها لازم است تا سختی انتقالی فنر در نظر گرفته شود. به این ترتیب با مشخص بودن سختی فنر با اعمال الگوی نیرویی افقی برابر سختی فنر و در

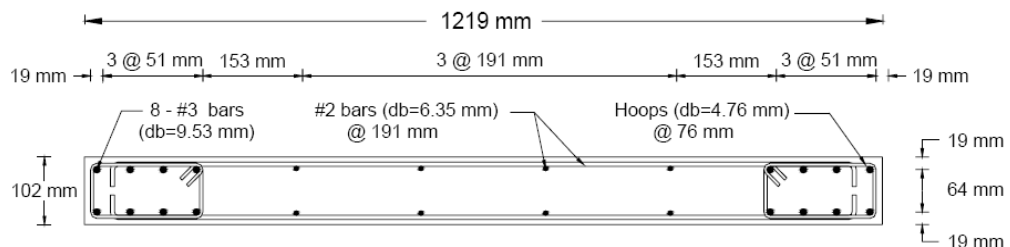
۴- صحبت سنجی سیستم دیوار بار بر

دیوار مورد بررسی در مقیاس یک چهارم اندازه واقعی و با مقطع مستطیلی ساخته شده است و دارای طولی معادل ۱۲۱۹ میلی متر، ضخامت ۱۰.۲ میلی متر و ارتفاع ۳۶۶۰ میلی متر است (شکل های ۱۸ و ۱۹). جزئیات اجزای مرزی دیوار مورد آزمایش، بر اساس روش طراحی بر اساس تغییر مکان ارائه شده توسط والاس، تعیین گردیده است. برای تأمین ظرفیت برشی مناسب دیوار از آیین نامه ACI 318-05 استفاده شده است [۲۱]. طولی و عرضی و فاصله رعایت شده بین آرماتورها است.

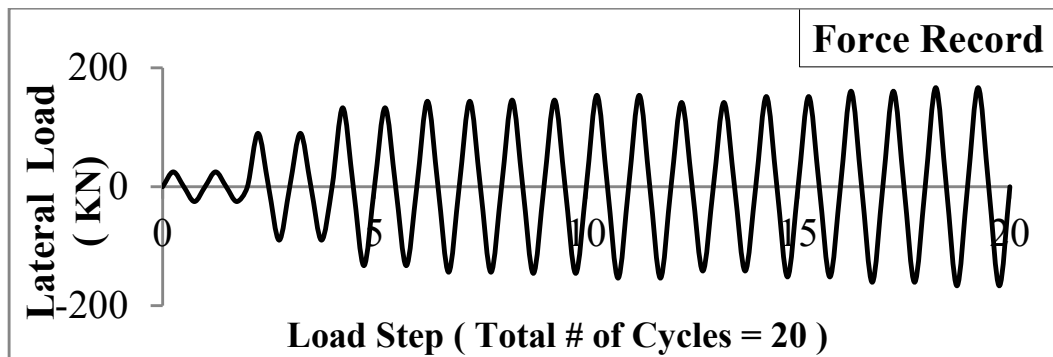
تحلیل دینامیکی غیر خطی (Time History) برای بدست آوردن رفتار چرخه ای و منحنی هیسترزیس دیوار، مطابق روند زیر انجام گردید:



شکل ۱۸. نمونه دیوار بتن آزمایشی شده توسط Wallace و Thomsen
Fig. 18. Experimental set-up of concrete shear wall by Wallace and Thomsen



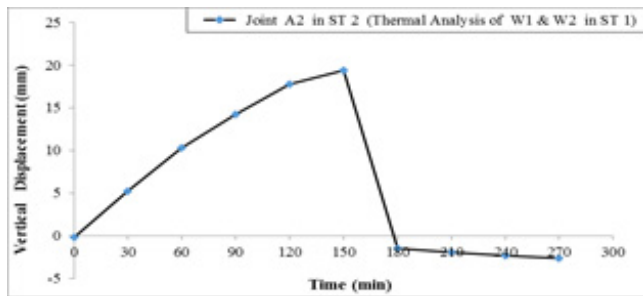
شکل ۱۹. ابعاد و جزئیات آرماتورگذاری نمونه مورد آزمایش [۲۹]
Fig. 19. Reinforcement arrangement and details of cross section of shear wall sample



شکل ۲۰. رکورد نیروی جانبی دینامیکی اعمال شده به المان فنر در بالاترین قسمت مدل دیوار [۲۹]
Fig. 20. Protocol of Lateral dynamic force at the top of shear wall

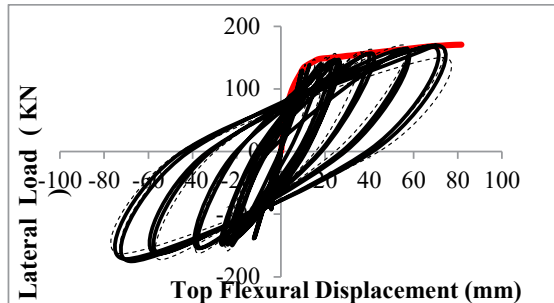
شده به دیوار است.
شکل ۲۱ مقایسه بین نتایج مدل آزمایشگاهی و تحلیلی را نشان می‌دهد. مشخص است که نتایج تحلیل استاتیکی غیرخطی (Pushover Analysis) و تحلیل دینامیکی غیرخطی با خطای قابل قبولی رفتار واقعی دیوار را پیش‌بینی کرده‌اند.

راستای مورد نظر، می‌توان جابجایی افقی به اندازه یک واحد در گره ایجاد کرد. متناسب با رکورد جابجایی جانبی اعمال شده به دیوار، یک رکورد نیروی دینامیکی تنظیم و این رکورد نیروی دینامیکی به الگوی نیروی افقی در گره مورد نظر اعمال شد. در نتیجه مقادیر مورد نظر در رکورد نیرو از لحاظ عددی معادل تغییر مکان جانبی اعمال



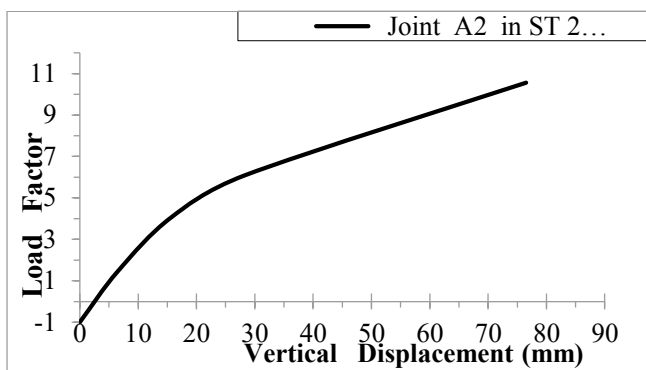
شکل ۲۳. تغییرات جابجایی قائم گره A2 در طبقه دوم پس از تحلیل حرارتی دیوارهای W1 و W2 در طبقه اول

Fig. 23. Vertical displacement of the (A2) under thermal analysis of W1 and W2 walls in the first story



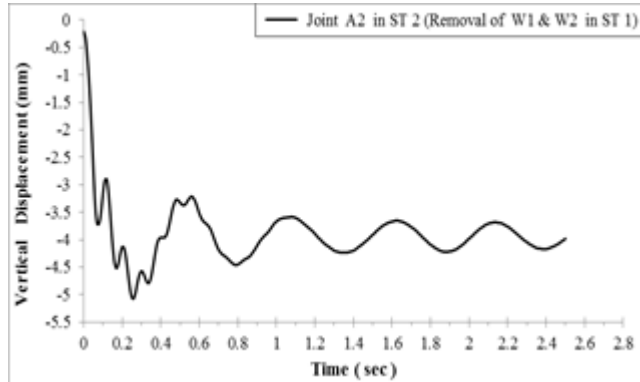
شکل ۲۱. مقایسه نتایج آزمایشگاهی با نتایج تحلیلی به دست آمده از برنامه SAP2000

Fig. 21. Comparison of experimental and numerical results



شکل ۲۴. منحنی Pushdown گره A2 در طبقه دوم پس از حذف دیوارهای W1 و W2 در طبقه اول

Fig. 24. Pushdown curve of the (A2) under sudden removal of W1 and W2 walls in the first story



شکل ۲۲. تاریخچه جابجایی قائم گره A2 در طبقه دوم پس از حذف ناگهانی دیوارهای W1 و W2 در طبقه اول

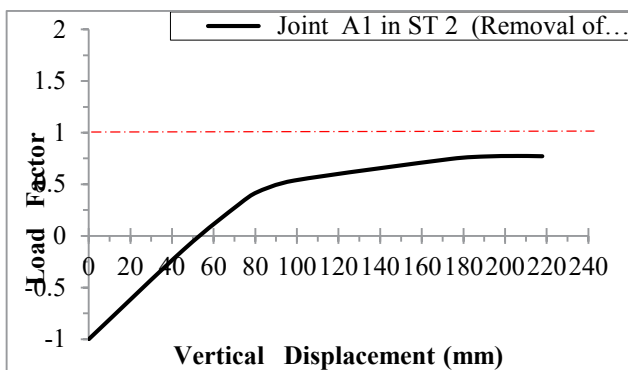
Fig. 22. Vertical displacement of the (A2) under sudden removal of W1 and W2 walls in the first story

ارائه شده است. نتایج تحلیل دینامیکی غیرخطی خرابی پیش‌روندۀ در سیستم دیوار باربرتی، با مدل‌سازی ساختمان در نرم‌افزارهای SAP2000 با یکدیگر اعتبارسنجی شده است. با در نظر گرفتن ضوابط آیین‌نامه‌ای ارائه شده، بحرانی‌ترین موقعیت‌های اعضای باربر به‌منظور تحلیل خرابی پیش‌روندۀ در پلان سیستم‌ها، انتخاب شده است. مطابق شکل ۱ در سیستم دیوار باربر بتی در به‌منظور تعیین بحرانی‌ترین حالت خرابی دیوارها در پلان سیستم، تحلیل دینامیکی غیرخطی، تحلیل حرارتی و Pushdown دیوارهای باربر انجام شده است. سپس با هدف تعیین طبقه‌ای که دارای بیشترین پتانسیل خرابی پیش‌روندۀ می‌باشد، تحلیل‌های دینامیکی غیرخطی و Pushdown در طبقات مختلف موقعیت بحرانی تعیین شده در پلان سازه، انجام شده است. مطابق شکل ۱ با در نظر گرفتن پلان

ظرفیت جانبی دیوار تحت بارگذاری رفت‌وبرگشتی در اکثر دریفت‌های وارد شده، بسیار نزدیک به ظرفیت جانبی واقعی دیوار می‌باشد. مقایسه بین نتایج مدل تحلیلی و آزمایشگاهی نشان می‌دهد که مدل‌سازی مقاطع دیوار باربر به روش فایبر از دقت بسیار بالایی برخوردار است. توانایی پیش‌بینی صحیح رفتار دیوار تحت بارهای سیکلیک و مشخصات مربوط به آن از جمله سختی اولیه، نقطه تسلیم، کاهش سختی، کاهش مقاومت و مقاومت نهایی از ویژگی‌های مدل‌سازی مقاطع به روش فایبر است.

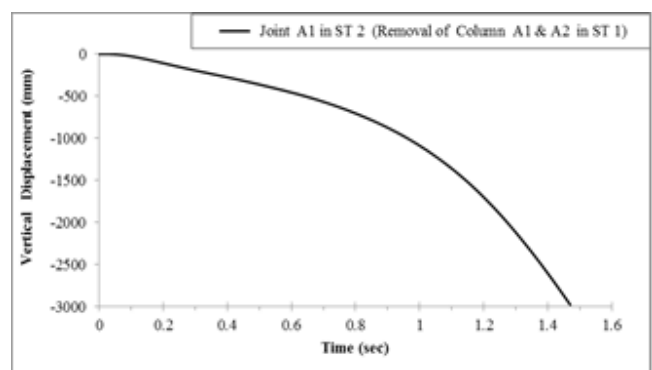
۵- نتایج

در این بخش نتایج مدل‌های تحلیلی از سیستم‌های مورد مطالعه ارائه شده است. فرضیات و روند انجام تحلیل‌ها در بخش ۳



شکل ۲۶. منحنی Pushdown گره A1 در طبقه دوم پس از حذف همزمان ستون A1 و A2 در طبقه اول

Fig. 26. Pushdown curve of the (A1) under sudden removal of A1 and A2 columns in the first story



شکل ۲۵. تاریخچه جابجایی قائم گره A1 در طبقه دوم پس از حذف همزمان ستون A1 و A2 در طبقه اول

Fig. 25. Vertical displacement of the (A1) under sudden removal of A1 and A2 columns in the first story

جابجایی متناظر با گسیختگی سازه، شکل پذیری بسیار کم سیستم نمایان است.

در حالت دوم حذف همزمان و ناگهانی ستون‌های A1 و A2 در طبقه اول ساختمان مورد بررسی قرار گرفته است. این حالت مشابه با حالت حذف همزمان دیوارهای W1 و W2 در طبقه اول سیستم دیوار برابر بتنی است. زیرا تحت این شرایط در هر دو سیستم، گره‌های A1 و A2 در طبقه دوم ساختمان، تکیه‌گاه برابر زیرین خود را از دست داده و به این صورت می‌توان عملکرد دو سیستم را در برابر خرابی پیش‌رونده با یکدیگر مقایسه کرد.

در شکل ۲۵ تاریخچه تغییرات جابجایی قائم گره A1 در اثر حذف همزمان و ناگهانی ستون‌های A1 و A2 در طبقه اول ساختمان مانیتور شده است. مطابق نتایج به دست آمده، جابجایی قائم گره A1 در مدت زمان ۱/۴۷ ثانیه به میزان ۳۰۰۰ میلی‌متر رسیده است. این جابجایی قائم رها شده، به معنای ایجاد خرابی پیش‌رونده در سازه می‌باشد.

با انجام تحلیل استاتیکی غیرخطی Pushdown، منحنی (ضریب بار- جابجایی قائم) گره A1 به دست آمده است (شکل ۲۶). نمایان است که بیشترین ضریب بار به دست آمده در این منحنی از ۱ کمتر است و این به معنای ایجاد خرابی پیش‌رونده در سازه است.

به این ترتیب نتایج به دست آمده از تحلیل‌های دینامیکی غیرخطی (شکل ۲۵) و استاتیکی غیرخطی (شکل ۲۶) تأیید کننده یکدیگر هستند. با مقایسه نمودارهای Pushdown ارائه شده برای دو سیستم، مقاومت بسیار بالاتر، سختی بیشتر و شکل پذیری‌شکل پذیری

بارگذاری و شرایط مشابهی برای حذف المان‌های برابر در دو سیستم دیوار برابر بتنی و قاب خمشی دوگانه بتنی، عملکرد این دو سیستم در برابر خرابی پیش‌رونده با یکدیگر مقایسه شده است. حذف ناگهانی المان برابر ناشی از اثر انفجار یا برخورد وسایل نقلیه و حذف تدریجی المان باربر ناشی از آتش‌سوزی در نظر گرفته شده است.

در حالت اول مطابق شکل ۱ در سیستم دیوار برابر بتنی، تحلیل دینامیکی غیرخطی (حذف ناگهانی)، تحلیل Pushdown و تحلیل حرارتی دیوارهای برابر دیوار برابر بتنی انجام شده است.

برای دیوارهای پیرامونی واقع در کنجد ساختمان، حذف همزمان دیوارهای W1 و W2 در طبقه اول در نظر گرفته شده است. همان‌طور که در شکل ۲۲ نشان داده شده است، تغییرات جابجایی قائم در ابتدا به دلیل ماهیت ارتعاش اجرایی دینامیک خرابی پیش‌رونده در لحظات اولیه شدید می‌باشد اما به تدریج کاهش می‌یابد. تفاوت میان شکل‌های ۲۲ و ۲۳ ماهیت دینامیکی بودن تحلیل خرابی پیش‌رونده در حذف ستون و تدریجی بودن تغییر شکل در تحلیل حرارات به Pushdown خوبی قابل تشخیص می‌باشد. شکل ۲۶ منحنی Pushdown گره A2 در طبقه دوم پس از حذف دیوارهای W1 و W2 در طبقه اول را نشان می‌دهد.

محل تلاقي منحنی با محور افقی، نشان‌دهنده میزان جابجایی ایجاد شده در گره A2 در اثر حذف تدریجی المان‌های برابر است. مقاومت و سختی بسیار بالای سازه در برابر اعمال بارهای محوری نمایان است، به طوریکه با اعمال ضریب بارهایی تا ۱۱ برابر باز محوری دائمی اولیه گره A2، سازه دچار گسیختگی شده است. با توجه به

حذف همزمان دیوارهای باربر در هر طبقه، باعث ایجاد نیروی کششی در دیوارهای طبقات بالایی می‌شود. این در حالی است که نیروی فشاری سیار زیادی به دیوارهای مجاور بهخصوص در طبقه‌ای که المان‌ها در آن حذف شده‌اند، وارد می‌گردد.

۴) نتایج بدست آمده از تحلیل حرارتی بیانگر رفتار دو مرحله‌ای دیوار در معرض آتش‌سوزی است. در مرحله اول از شروع آتش‌سوزی، اثر بار حرارتی بر افت مقاومت مصالح غالب بوده و عامل تأثیرگذار در تعیین رفتار دیوار می‌باشد. در این مرحله با وجود افت خواص مکانیکی مصالح دیوار، با افزایش بار حرارتی، دیوار منبسط شده و نیروی محوری فشاری وارد شده به گره‌های فوقانی دیوار افزایش می‌یابد. در مرحله دوم با وجود افزایش بار حرارتی، انبساط دیوار متوقف شده و به علت افزایش افت مقاومت مصالح، دیوار توانایی باربری خود را از دست داده و دچار گسیختگی می‌شود. در این مرحله افت مقاومت مصالح اثر خود را به صورت کاهش شدید جابجایی قائم و نیروی محوری گره‌های فوقانی دیوار نشان می‌دهد و این روند کاهشی تا پایان تحلیل ادامه دارد. قابل توجه است که با از بین رفتن کامل مقاومت مصالح دیوار در معرض حرارت، میزان جابجایی ایجاد شده در گره‌های فوقانی، مناسب با جابجایی قائم ناشی از حذف استاتیکی دیوار باربر می‌باشد و میزان نیروی محوری فشاری گره به صفر میل می‌کند.

۵) با کوچک‌تر کردن بازه‌های زمانی در تحلیل حرارتی به منظور اصلاح منحنی تنش - کرنش غیرخطی و خصوصیات مکانیکی مصالح و اعمال بار حرارتی به اعضای مورد بررسی، نتایج با دقت بیشتری حاصل می‌گردد.

۶) افت جابجایی قائم ایجاد شده در گره‌های فوقانی، پس از گسیختگی المان‌های باربر در حالت حذف ناگهانی بیشتر از حالت حذف تدریجی با اعمال بار حرارتی و کاهش خصوصیات مکانیکی مصالح می‌باشد. این مسئله به دلیل اثر ضربه ناشی از حذف دینامیکی المان‌های باربر است.

۷) با توجه به ضوابط منظم بودن پلان و ارتفاع سیستم دیوار باربر بتنه نتیجه‌گیری‌های تحقیق برای سازه‌های نامنظم صادق نمی‌باشد و بررسی این نوع سازه‌ها نیازمند تحلیل‌های جداگانه‌ای است.

۸) در نتیجه‌گیری‌ها باید تفاوت ماهیتی انواع تحلیل‌های انجام شده، شکل هندسی و موقعیت قرارگیری متفاوت دیوارهای باربر

کمتر سیستم دیوار باربر بتنه نسبت به سیستم قاب خمشی بتنه در برابر خرابی پیش‌رونده نمایان است.

در سیستم قاب خمشی بتنه تیرهای مجاور ستون محدود در معرض تنش‌ها و تغییرشکل‌های بزرگی قرار می‌گیرد و نقش عمدت‌های را در باز توزیع نیروها پس از حذف ستون ایفا می‌کند. بنابراین وجود تیرها در سیستم قاب خمشی بتنه باعث افزایش شکل‌پذیری‌شکل‌پذیری این سیستم در مقایسه با سیستم دیوار باربر بتنه شده است.

به وسیله اعتبارسنجی با تحلیل دینامیکی غیرخطی، مشخص گردید که پارامتر ((ضریب بار محوری)) در آنالیز Pushdown معیار مناسبی برای بررسی پتانسیل خرابی پیش‌رونده در سازه است. خرابی پیش‌رونده در سیستم قاب خمشی بتنه در حالی اتفاق افتاده است، که با ایجاد همین شرایط در سیستم دیوار باربر بتنه، حداکثر جابجایی قائم گره A1 به میزان ۴/۱۲ میلی‌متر محدود شده است.

۶- جمع‌بندی

بر طبق تحلیل‌های انجام شده و بررسی‌های صورت گرفته در این تحقیق با موضوع "ارائه یک سیستم سازه‌ای کارآمد در برابر خرابی پیش‌رونده ناشی از بارهای انفجاری جهت تمهیدات پدافندی" نتایج زیر قابل برداشت است :

۱) نتایج نشان‌دهنده مقاومت بسیار بالای سیستم دیوار باربر بتنه در برابر خرابی پیش‌رونده است. دلیل آن را می‌توان به علت درجه نامعینی بسیار بالا و عملکرد جعبه‌ای مانند سیستم، دانست. عملکرد یکپارچه دیافراگم صلب کف و سطح گسترده اتصال آن به دیوارها و همچنین عملکرد طرهای مانند دیوارهای باربر باقی مانده، مانع از ایجاد جابجایی‌های بزرگ در سایر اعضای متصل به عضو آسیب‌دیده شده است.

۲) نتایج تحلیل دینامیکی غیرخطی، تحلیل حرارتی و Pushdown نشان می‌دهد که بحرانی ترین موقعیت به منظور حذف دیوارهای باربر در پلان سیستم دیوار باربر بتنه، حذف همزمان و ناگهانی دیوارهای پیرامونی واقع در کج ساختمان می‌باشد.

۳) پس از حذف دیوارهای باربر، بار دائمی که قبل از توسط آن‌ها تحمل می‌شد، بین المان‌های باربر مجاور با توزیع می‌شود و شرایط تعادل استاتیکی جدیدی به منظور حفظ پایداری سازه‌ایجاد می‌گردد.

مراجع

- [1] U. DoD, Structures to Resist the Effects of Accidental Explosions. US DoD, Washington, DC, USA, UFC 3-340-02, 2008.
- [2] U. Gsa, Progressive collapse analysis and design guidelines for new federal office buildings and major modernization projects, Washington, DC, (2003).
- [3] B.R. Ellingwood, R. Smilowitz, D.O. Dusenberry, D. Duthinh, H.S. Lew, N.J. Carino, Best practices for reducing the potential for progressive collapse in buildings, (2007).
- [4] R. Sun, Z. Huang, I.W. Burgess, Progressive collapse analysis of steel structures under fire conditions, Engineering structures, 34 (2012) 400-413.
- [5] H. Kim, Progressive collapse behavior of reinforced concrete structures with deficient details, (2006).
- [6] M. Sasani, J. Kropelnicki, Progressive collapse analysis of an RC structure, The Structural Design of Tall and Special Buildings, 17(4) (2008) 757-771.
- [7] M. Sasani, S. Sagiroglu, Gravity Load Redistribution and Progressive Collapse Resistance of 20-Story Reinforced Concrete Structure following Loss of Interior Column, ACI Structural Journal, 107(6) (2010).
- [8] O. Pekau, Y. Cui, Progressive collapse simulation of precast panel shear walls during earthquakes, Computers & structures, 84(5-6) (2006) 400-412.
- [9] O.A. Mohamed, Assessment of progressive collapse potential in corner floor panels of reinforced concrete buildings, Engineering Structures, 31(3) (2009) 749-757.
- [10] Y. Bao, S.K. Kunnath, Simplified progressive collapse simulation of RC frame-wall structures, Engineering Structures, 32(10) (2010) 3153-3162.
- [11] H. Mostafaei, T. Kabeyasawa, Performance of a six-story reinforced concrete structure in post-earthquake fire, in: 10th Canadian Conference on Earthquake Engineering, Institute for Research in Construction Toronto, Ontario, 2010.
- [12] B. Behnam, H. Ronagh, M. Ashraf, Performance of reinforced concrete structures in post-earthquake fire,

مورد نظر در پلان، تفاوت سطح بارگیر گرهات فوقانی مورد نظر از المان‌های محدود و تعداد المان‌های برابر متصل به دیوارهای محدود را مد نظر قرار داد.

۹) در یک موقعیت ثابت در پلان سیستم دیوار برابر بتنی با حذف المان‌های برابر در طبقات مختلف، بیشترین جابجایی قائم در طبقه‌ای است که مقطع المان‌های برابر برای اولین بار در آن عوض شده است. به عبارت دیگر پتانسیل خرابی پیش‌روندۀ در طبقاتی که محل اعمال تغییر مقطع المان‌های برابر هستند، افزایش می‌یابد.

۱۰) به دلیل سهم برابر بیشتر المان‌های واقع در طبقه اول ساختمان، در هنگام حذف آن‌ها نیروهای بزرگتری در سازه باز توزیع شده و بار کششی و فشاری بیشتری به المان‌های برابر مجاور وارد گردیده است. ولی این عامل باعث بحرانی‌تر شدن حالت حذف المان‌های برابر در طبقه اول ساختمان نیست.

۱۱) با در نظر گرفتن پلان، بارگذاری و شرایط مشابهی برای حذف المان‌های برابر در دو سیستم دیوار برابر بتنی و قاب خمشی دوگانه بتنی، عملکرد این دو سیستم در برابر خرابی پیش‌روندۀ به وسیله تحلیل‌های دینامیکی غیرخطی و استاتیکی غیرخطی (Pushdown) با یکدیگر مقایسه شده است. در شرایط مورد نظر حداقل جابجایی قائم در سیستم دیوار برابر بتنی، به میزان $5/07$ میلی‌متر محدود شد و این در حالی است که سیستم قاب خمشی دوگانه بتنی در همین شرایط به علت ایجاد خرابی پیش‌روندۀ ویران گردید.

۱۲) مقایسه بین نتایج تحلیل‌های Pushdown انجام شده در هر دو سیستم، نشان‌دهنده پایداری و مقاومت بسیار بالاتر، سختی بیشتر و شکل‌پذیری کمتر سیستم دیوار برابر بتنی نسبت به سیستم قاب خمشی بتنی در برابر خرابی پیش‌روندۀ است. در سیستم قاب خمشی بتنی تیرهای مجاور ستون محدود در معرض تنش‌ها و تغییر‌شکل‌های بزرگی قرار می‌گیرد و نقش عمدۀ‌ای را در باز توزیع نیروها پس از حذف ستون ایفا می‌کند. بنابراین وجود تیرهای در سیستم قاب خمشی بتنی باعث افزایش شکل‌پذیری این سیستم در مقایسه با سیستم دیوار برابر بتنی شده است.

۱۳) به وسیله اعتبارسنجی با تحلیل دینامیکی غیرخطی تأیید گردید که قابلیت نرم‌افزارهای مورد استفاده در انجام تحلیل غیرخطی دینامیکی مصالح و هندسه، به اثبات رسید.

- [22] A.S.o.C. Engineers, Seismic Rehabilitation of Existing Buildings(ASCE/SEI41-06).: Rehabilitation Requirements; Chapter 2 Scope; Chapter 3 Analysis Procedures; Chapter 4 Foundations and Geologic Site Hazards; Chapter 5 Steel; Chapter 6 Concrete; Chapter 7 Masonry; Chapter 8 Wood and Light Metal Framing; Chapter 9 Seismic Isolation and Energy Dissipation; Chapter 10 Simplified Rehabilitation; Chapter 11 Architectural, Mechanical, and Electrical Components; Appendix A Use of this Standard for Local or Directed Risk Mitigation Programs; Symbols; Acronyms; Definitions; References, in, American Society of Civil Engineers, 2007.
- [23] A. Committee, Building code requirements for structural concrete (ACI 318-05) and commentary (ACI 318R-05), in, American Concrete Institute, 2005.
- [24] D.-G. Lu, S.-S. Cui, P.-Y. Song, Z.-H. Chen, Robustness assessment for progressive collapse of framed structures using pushdown analysis methods, International Journal of Reliability and Safety, 6(1-3) (2012) 15-37.
- [25] E.C.f. Standardization, Eurocode 2: Design of concrete structures—Part 1-2: General rules—Structural fire design, in, CEN Brussels, 2004.
- [26] M. Vorechovsky, D. Matesová, Interplay of Sources of Size Effects in Concrete Specimens, in: Fracture of Nano and Engineering Materials and Structures, Springer, 2006, pp. 1365-1366.
- [27] Ninth subject of national building regulations of Iran, Design and construction of RC buildings, Ministry of Housing and Urban Development, Deputy of housing and building affairs, Building regulations office, 2014 (In Persian)
- [28] Alireza Pachenari, "Progressive collapse of RC structures", MSC dissertation, Amirkabir University of Technology, Civil Engineering and Environment department, 2010.(In Persian),
- [29] J.H. Thomsen IV, J.W. Wallace, Displacement-based design of slender reinforced concrete structural walls—experimental verification, Journal of structural engineering, 130(4) (2004) 618-630.
- in: SEMC 2013: Proceedings of the 5th International Conference on Structural Engineering, Mechanics and Computation, Taylor & Francis Group, 2013, pp. 727-728.
- [13] J. Kim, Y.H. Lee, Seismic performance evaluation of diagrid system buildings, The Structural design of tall and special buildings, 21(10) (2012) 736-749.
- [14] B. Yang, Y. Yang, X.-H. Zhou, Q.-F. Jiang, S.-B. Kang, Component tests and numerical simulations of composite floor systems under progressive collapse, Journal of Constructional Steel Research, 151 (2018) 25-40.
- [15] S.-C. Lin, B. Yang, S.-B. Kang, S.-Q. Xu, A new method for progressive collapse analysis of steel frames, Journal of Constructional Steel Research, 153 (2019) 71-84.
- [16] L. Bredean, M. Botez, The influence of beams design and the slabs effect on the progressive collapse resisting mechanisms development for RC framed structures, Engineering Failure Analysis, 91 (2018) 527-542.
- [17] V. SAP, 19 (2017). CSI analysis reference manual, Computers and Structures Inc., Berkeley, California, USA.
- [18] S.M. Walls, FEMA 356 Prestandard and Commentary for the Seismic Rehabilitation of Buildings, ASCE for the Federal Emergency Management Agency, Washington, DC, November 2000. Forghani R., Totoev YZ y Kanjanabootra S., Experimental investigation of the water penetration through semi interlocking masonry (SIM) walls, Proc. Annual Meeting of Architectural Institute of Japan, Kobe, Japan, September 2014, pp. 889-890, Masonry Society Journal, 25(1) (2004) 41-52.
- [19] J.B. Mander, M.J. Priestley, R. Park, Theoretical stress-strain model for confined concrete, Journal of structural engineering, 114(8) (1988) 1804-1826.
- [20] A. Belarbi, T.T. Hsu, Constitutive laws of concrete in tension and reinforcing bars stiffened by concrete, Structural Journal, 91(4) (1994) 465-474.
- [21] Seismic rehabilitation of existing building (Code 360), National organization of management and planning, Deputy of technical affairs, Technical affairs office, Compilation of criteria and reduction of earthquake risk, 2007. (In Persian).

چگونه به این مقاله ارجاع دهیم

A. Shokoohfar, F. Khosravi, M. Rahai, *Development of an efficient structural system against the progressive collapse of explosive loads for protective measures*, Amirkabir J. Civil Eng., 52(2) (2020) 407-426.

DOI: [10.22060/ceej.2019.14322.5623](https://doi.org/10.22060/ceej.2019.14322.5623)



